

### III-131 開削時の地盤の挙動

\*前國鐵・東京第一工事局 正員 横山浩雄  
國企铁・鐵道技術研究所 正員 ○垂水尚志  
(※は現在、飛島建設)

いまえがき

埋立地盤における開削工事に際し現場測定を行ひ、これを大體する解析を行なつた。原地盤及複数有様相を呈するものか、極端を假定の上とし計算を行なつた結果、ニコラ法は簡単な地盤調査からある程度の挙動予測をすることが可能であり、施工管理上有用であると思ふ。左記、測定結果はつづり「土と基礎」(1974年7月)に報告されており、解析手法につづりは、文献12)と基本的には同一のものである。

## (2) 測定項目、測定方法および解析方法

測定項目、測定方法を右の表に示す。解析は有限要素法により、次に示す仮定を用いる。

解釈断面：図-1K 点より 3m 测定区間を左右対称とみなし  
右側半分を参考とし、境界条件は 固定とみりであり、二つ  
断面を三角形要素（地盤）518個およびハリ要素（矢板）  
21個に分割した。

施工過程：14回の掘削ごとに三角形要素を除去していく手順で、各回は約1時間、合計で約14時間で実施される。

地盤特性：土壤調査、試験結果を図-2K示す。二二では上部砂層を粘性土とみなし地盤の応力-位変特性は、Prandtl-Roussy体の特性を従うものと仮定した。次K用いた地盤係数を示す。  
 变形俢数： $E_0 = 40 \text{ kN/cm}^2$ 、地盤水  
 セン断強度： $c_u = 0.1 + 2000 \text{ } \mu \text{m}^{-1} \cdot \text{kg/cm}^2$  ( $= 2 \text{ kPa}$  で算定)  
 $c_u = 0.1 + 2000 \text{ } \mu \text{m}^{-1} \cdot \text{kg/cm}^2$  ( $= 2 \text{ kPa}$  で算定)

土の湿潤密度:  $\gamma = 1.6 \text{ ton/m}^3$ , 砂・アシ・シルト比:  $\mu = 0.475$

静止土压力系数:  $k_0 = 0.8$  (全应力) 標 數

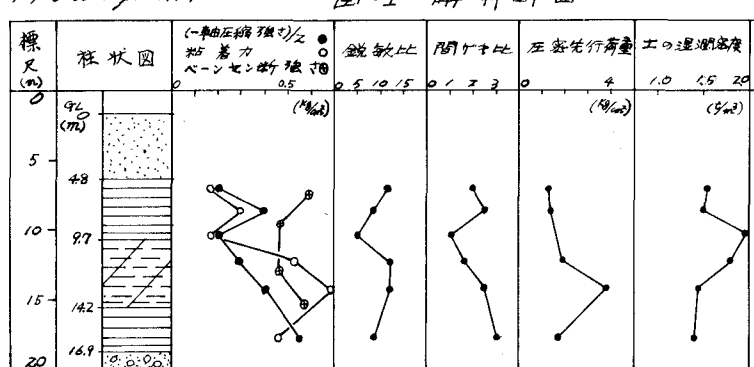
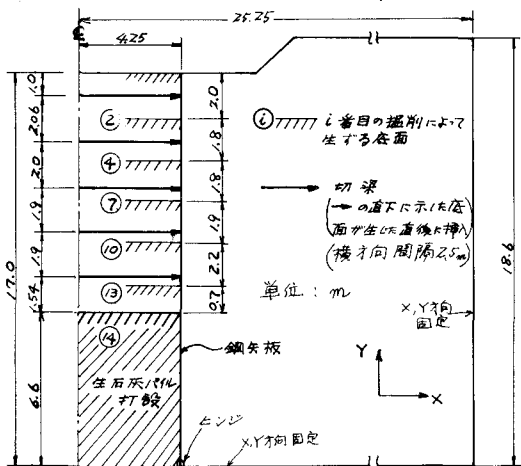
左端側の最終底面以下、下 部砂利層までの上・ヒンゲの増加を 防止するため予め生石灰パイルを打 設しており、この部分の要素たつ ては、 $Z.5 \times E_0$ 、 $Z \times Cu$ とします。	$E_0$ (m)	$q_{\text{c}}$ (kN/m)	$Z$ (m)	$Cu$
	0			
	5	48		
	10	97		

矢板：軸力および曲げモーメント

左側にあるハリ要素の集合体と等しい。					
次にこの端元を示す。	<table border="1"> <tr><td>20</td><td>16.9</td></tr> <tr><td></td><td>○○○○</td></tr> </table>	20	16.9		○○○○
20	16.9				
	○○○○				

### 表 测定项目及测定方法

	測定項目	測定方法
鋼矢板	鋼矢板に作用する土圧 (主動側), (被動側)	差動トランシス型 土圧計
	鋼矢板に作用する水圧 (背面地盤), (擁壁地盤)	差動トランシス型 水圧計
	鋼矢板の曲げ剛性	差動トランシス型歪計
	鋼矢板の変形	差動トランシス型傾斜計
切バリ	切バリに作用する軸力	切バリ軸力計
周辺地盤	縫削地盤の変形 (ヒーリング) (開ケキ水圧)	レベル 差動トランシス型 水圧計
	背面上地盤の変形 (ヒーリング), (開ケキ水圧)	レベル 差動トランシス型水圧計 差動トランシス型傾斜計



### 圖-3 土質調查試驗結果

$2.1 \times 10^6 \text{ kg/cm}^2$ , 断面ニ次モ - X

$$-k = 1.68 \times 10^4 \text{ cm}^{-4},$$

切バリ：バネ支承と考え、平均バネ係数を次のようく定めた。

1,5段切ベリ :  $2.52 \times 10^5$  kg/cm<sup>2</sup>

2, 3, 4段切り :  $3.65 \times 10^5$  kg/cm

### (3) 測定結果と計算結果

変位：図-3に示すようく形状  
は測定値と計算値が類似している

と云ふ。矢板、地盤の変位は、

初期深さの 0.5 ~ 1 % である。

ヒーピングの測定値は高さ 5cm。

計算値では、10 度程度となる。これは

リ、生石灰パイルの効果かかな)

大きか、たようである。

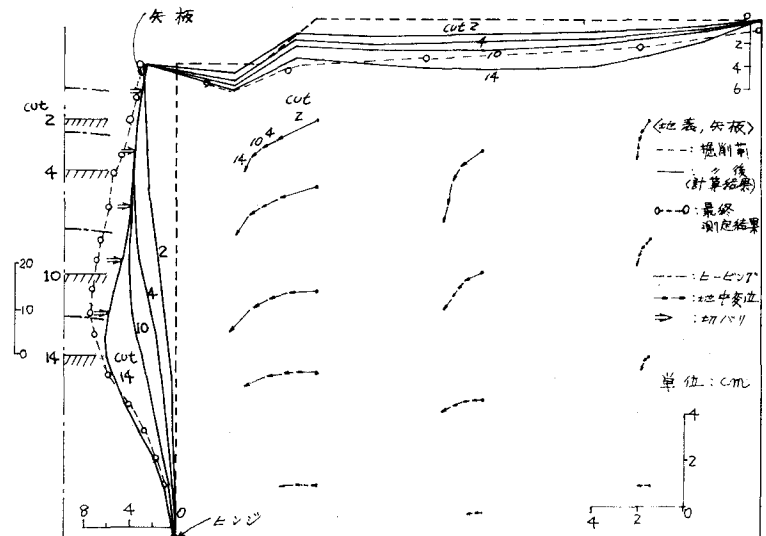


图-3 变速状况

土圧：この種の軟弱地盤では著しい土圧再配分が起こりようがあり、強削した伴う地盤変位とともに、土圧は徐々に減少していく（図-4）。

**切バリ動力：** 図-5に示すよろしく動力計算値は、挿入後次の強制振幅がピークに達しないこと、類似の傾向は測定結果にもみられる。

矢板荷重面の掘削底面以上の土圧合力と動力和の比は、測定値、計算値とも  $0.8 \sim 1.5$  程度である。

(4)あとがき

施工時の機器傾向を把握することは目的とした場合を仮定に基づく手法により、軟弱地盤の開削工事に際しての拳動傾向をある程度、容易に予測することが可能であると思われる。また、本質的につき「誤差を伴うこの種の測定結果と情報不足の計算結果が一致する」とことは、まだあり得ることであり、そのためには、この数値解析の限界が明らかでなくてはならぬ。最後に、この現場測定を直接行なわれた竹中技術研究所および東京第一工事局の関係各位へ謝意を表す。(3)

参考文献

1) 石原、国生：切土大伴と地盤の挙動の変化、第  
4回土質研究会、1969年

2) 石原、空水：夫婦の性整体で支撑された地盤の  
撤削工事の実験、同上第5回、1970年

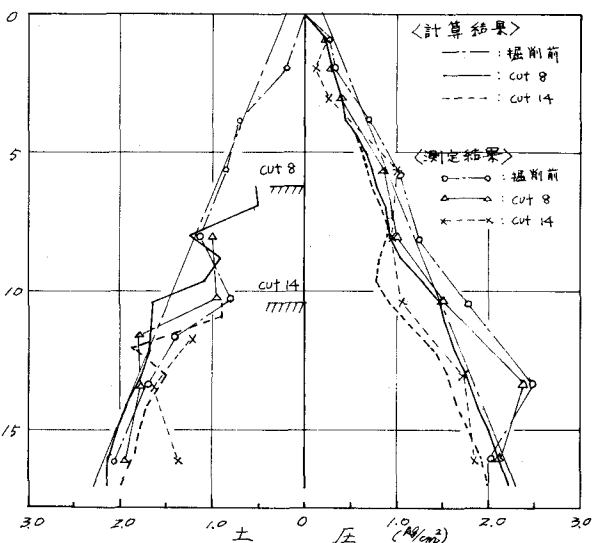
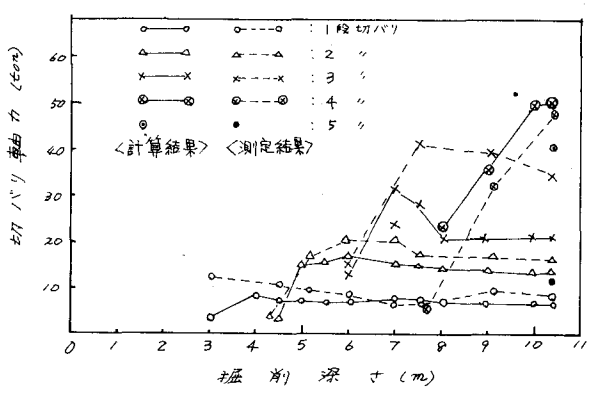


图-4 土压变化状况



### 図-5 切バリ軸力